



NetWorks Sp. z o.o.  
Laboratorium Badań Środowiskowych  
ul. Józefa Piusa Dziekońskiego 3  
00-728 Warszawa  
e-mail: [Laboratorium@networks.pl](mailto:Laboratorium@networks.pl)



AB 419

S P R A W O Z D A N I E 1078/2025/OS  
Z POMIARÓW PÓL ELEKTROMAGNETYCZNYCH  
WYKONANYCH DLA POTRZEB OCHRONY ŚRODOWISKA

Badany obiekt: Instalacja radiokomunikacyjna T-Mobile Polska S.A.

Numer i nazwa: 32786 (42786N!) GKO\_SIEMYSL\_SIEMYSL

Adres: SIEMYŚL, SZKOLNA DZ.21, Powiat kołobrzeski, WOJ. ZACHODNIOPOMORSKIE

Data wykonania pomiarów: 2025-02-05

Sprawozdanie z badań bez pisemnej zgody laboratorium nie może być powielane inaczej niż w całości.  
Wynik przedstawione w niniejszym sprawozdaniu odnoszą się wyłącznie do badanego obiektu i do warunków i konfiguracji urządzeń w dniu wykonywania pomiarów.

**1. Właściciel badanego obiektu:**

T-Mobile Polska S.A., ul. Marynarska 12, 02-674 Warszawa

**2. Zleceniodawca:**

T-Mobile Polska S.A., ul. Marynarska 12, 02-674 Warszawa

**3. Przedstawiciel zleceniodawcy:**

NetWorks Sp. z o.o.

**4. Zakres zlecenia:**

Wykonanie badania i opracowanie sprawozdania z pomiarów natężenia pola elektrycznego i pola magnetycznego dla instalacji radiokomunikacyjnej T-Mobile Polska S.A. zlokalizowanej w miejscowości SIEMYŚL, SZKOLNA DZ.21.

**5. Cel zlecenia:**

Wykonanie pomiarów pól elektromagnetycznych w otoczeniu instalacji radiokomunikacyjnej 32786 (42786N!) GKO\_SIEMYSL\_SIEMYSL w odniesieniu do wymagań określonych w *Rozporządzeniu Ministra Klimatu z dnia 17 lutego 2020 r. w sprawie sposobów sprawdzania dotrzymania dopuszczalnych poziomów pól elektromagnetycznych w środowisku (Dz.U. 2022 poz. 2630)*.

**6. Pomiary zostały wykonane przez:**

[REDAKTOWANE]

**7. Informacje o źródłach pól elektromagnetycznych**

**7.1. Sposób identyfikacji badanych źródeł pól elektromagnetycznych**

Identyfikacji źródeł i parametrów technicznych dokonano na podstawie analizy dokumentacji dotyczącej zlecenia oraz obserwacji miejsca wykonywania badań.

**7.2. Opis miejsca zainstalowania anten i urządzeń technicznych. Opis obiektu badań i jego otoczenia**

Instalacja radiokomunikacyjna zlokalizowana jest na terenie ogrodzonym. Anteny zawieszono na wieży kratowej. Urządzenia sterujące oraz zasilające zainstalowano w kontenerze u podstawy wieży. Wokół instalacji znajdują się tereny rolnicze.

Instalacja radiokomunikacyjna jest obiektem bezobsługowym. Okresowe stanowiska pracy związane są z prowadzonymi w zależności od potrzeb konserwacjami, przeglądami, strojeniem i naprawami.

Sprawozdanie z badań bez pisemnej zgody laboratorium nie może być powielane inaczej niż w całości.  
Wynik przedstawione w niniejszym sprawozdaniu odnoszą się wyłącznie do badanego obiektu i do warunków i konfiguracji urządzeń w dniu wykonywania pomiarów.

### 7.3. Parametry techniczne źródła pola elektromagnetycznego

Dane przedstawiające maksymalne parametry pracy instalacji przekazane przez zleceniodawcę:

Parametry systemu nadawczo-odbiorczego:

Charakterystyka promieniowania		kierunkowa					
Rzeczywisty czas pracy [h/dobę]		24					
Warunki pracy		znamionowe					
Rodzaj wytwarzanego pola		stacjonarne					
Lp.	Częstotliwość lub zakresy częstotliwości pracy [MHz]	Typ/producent anteny	liczba anten	Azymut [°]	kąt pochylenia [°]	Wysokość środka elektrycznego anteny [m n.p.t.]	Równoważna moc promieniowana izotropowo (EIRP) [W]
1	800/900/1800/2100	AQU4518R25v18 Huawei	1	20	0-10**/0-10**/2-10**/2-10**	56.2	21500
2	800/900/1800/2100	AQU4518R25v18 Huawei	1	120	0-10**/0-10**/2-10**/2-10**	56.2	21500
3	3600	AQQQ NSN	1	120	4-10**	56.2	47886
4	800/900/1800/2100	AQU4518R25v18 Huawei	1	220	0-10**/0-10**/2-10**/2-10**	56.2	21500
5	3600	AQQQ NSN	1	220	4-10**	56.2	47886

\* wskazane wartości kąta pochylenia anten, zgodnie z informacją uzyskaną od zleceniodawcy, są wartościami stałymi

\*\* pomiary wykonano zgodnie z pkt 13., ppkt 2 załącznika do Rozporządzenia Ministra Klimatu z dnia 17 lutego 2020 r. (Dz. U. 2022, poz. 2630).

Parametry radiolinii:

Charakterystyka promieniowania		kierunkowa					
Rzeczywisty czas pracy [h/dobę]		24					
Warunki pracy		znamionowe					
Rodzaj wytwarzanego pola		stacjonarne					
Lp.	Linia radiowa			Antena			
	Typ/ Producent	Częstotliwość pracy [GHz]	Równoważna moc promieniowana izotropowo (EIRP) [W]	Typ/ producent	Średnica anteny [m]	Azymut [°]	Wysokość zainstalowania n.p.t [m]
1.	NP ERICSSON ML 6365 23GHz 2x56MHz XPIC/ NP ERICSSON ML 6352 R2+ 70/80GHz 500MHz Ericsson	23/80	4582/4266	ANT2/2_0.6 23/80 HPX/HP Ericsson	0.6	53	60
2.	NEC iPasolink 200 NEC	23	310	VHLP1-23 Andrew	0.3	78	59
3.	Ericsson CN510 RAU2X Ericsson	38	13	ANT2_0.3 38 HP Ericsson	0.3	128	59
4.	NP ERICSSON ML 6363 23GHz 2x56MHz XPIC Ericsson	23	7431	ANT3_0.6 23 HP/HPX Ericsson	0.6	221	45
5.	NP ERICSSON RAU2X 38GHz 56MHz Ericsson	38	1381	ANT2_0.3 38 HP Ericsson	0.3	244	45
6.	NP ERICSSON ML 6363 18GHz 2x56MHz XPIC Ericsson	18	3170	ANT3_0.6 18 HP/HPX Ericsson	0.6	307	60

Sprawozdanie z badań bez pisemnej zgody laboratorium nie może być powielane inaczej niż w całości.

Wynik przedstawione w niniejszym sprawozdaniu odnoszą się wyłącznie do badanego obiektu i do warunków i konfiguracji urządzeń w dniu wykonywania pomiarów.

Charakterystyka promieniowania			kierunkowa				
Rzeczywisty czas pracy [h/dobę]			24				
Warunki pracy			znamionowe				
Rodzaj wytwarzanego pola			stacjonarne				
Lp.	Linia radiowa			Antena			
	Typ/ Producent	Częstotliwość pracy [GHz]	Równoważna moc promieniowana izotropowo (EIRP) [W]	Typ/ producent	Średnica anteny [m]	Azymut [°]	Wysokość zainstalowania n.p.t [m]
7.	NP ERICSSON RAU2X 38GHZ 56MHz Ericsson	38	1097	ANT2_0.3 38 HP Ericsson	0.3	316	50

#### 7.4 Inne źródła pól elektromagnetycznych

Na podstawie informacji otrzymanych od użytkownika oraz obserwacji otoczenia miejsca wykonywania pomiarów stwierdzono występowanie innych źródeł pola-EM, pracujących w systemie: telefonii komórkowej (800MHz-2600MHz), linii radiowych (5GHz - 90GHz), które istotnie wpływają na wyniki pomiarów.

### 8. Opis pomiarów

#### 8.1. Metoda badań

Zgodna z rozporządzeniem Ministra Klimatu z dnia 17 lutego 2020 r. w sprawie sposobów sprawdzania dotrzymania dopuszczalnych poziomów pól elektromagnetycznych w środowisku (Dz.U. 2022 poz. 2630), określona w pkt 25 ppkt 1 załącznika do niniejszego rozporządzenia.

#### 8.2. Termin pomiarów i warunki środowiskowe

Podczas wykonywania pomiarów pól elektromagnetycznych nie występowały opady atmosferyczne. Wyniki pomiaru parametrów pogodowych przedstawia poniższa tabela:

Data [rrrr-mm-dd]	Godzina [hh:mm-hh:mm]	Warunki środowiskowe			
		Temperatura [°C]		Wilgotność względna [%]	
2025-02-05	15:05-16:15	Przed pomiarem	Po pomiarach	Przed pomiarem	Po pomiarach
		2.2	2.8	71.6	72.5

Przedstawione wyżej warunki środowiskowe, występujące podczas wykonywania pomiarów pól elektromagnetycznych, są zgodne ze specyfikacją techniczną użytego zestawu pomiarowego.

#### 8.3. Warunki pracy urządzeń nadawczych

Podczas pomiarów w przypadku uzyskania wyniku pomiaru szerokopasmowego wykonanego zastosowaną metodą, dla zakresów częstotliwości od 10 MHz do 300 GHz, powiększonego o rozszerzoną niepewność pomiaru U dla współczynnika rozszerzenia  $k = 2$  przekraczającego 70% najniższej dopuszczalnej wartości składowej elektrycznej lub magnetycznej pola dla objętych pomiarami zakresów częstotliwości, uwzględnia się poprawki pomiarowe przekazane przez zleceniodawcę, umożliwiające uwzględnienie maksymalnych parametrów pracy instalacji zgodnie z pkt 7 załącznika do Rozporządzeniem Ministra Klimatu z dnia 17 lutego 2020 r. w sprawie sposobów sprawdzania dotrzymania dopuszczalnych poziomów pól elektromagnetycznych w środowisku (Dz. U. 2022, poz. 2630) zaznaczając, że wymagane jest wykonanie pomiaru z wykorzystaniem miernika selektywnego. W przypadku uzyskania wyniku pomiaru szerokopasmowego wykonanego zastosowaną metodą, dla zakresów częstotliwości od 10 MHz do 300 GHz, powiększonego o rozszerzoną niepewność pomiaru U dla współczynnika rozszerzenia  $k = 2$  nieprzekraczającego 70% najniższej dopuszczalnej wartości składowej elektrycznej lub magnetycznej pola dla objętych pomiarami zakresów częstotliwości, nie uwzględnia się poprawek pomiarowych.

#### 8.4. Wyposażenie pomiarowe

Zestaw pomiarowy służący do pomiaru natężenia składowej elektrycznej pola elektromagnetycznego złożony z szerokopasmowego miernika i sondy pomiarowej:

Sprawozdanie z badań bez pisemnej zgody laboratorium nie może być powielane inaczej niż w całości.  
 Wynik przedstawione w niniejszym sprawozdaniu odnoszą się wyłącznie do badanego obiektu i do warunków i konfiguracji urządzeń w dniu wykonywania pomiarów.



Oznaczenie miernika	Producent	Model	Numer fabryczny	Oznaczenie sondy	Producent	Model	Numer fabryczny
MW-01	Wavecontrol	Miernik pól elektromagnetycznych SMP2	22SN1956	SW-01	Wavecontrol	Sonda WPF60	22WP230196

Mierniki natężenia pola elektromagnetycznego podlegają okresowemu sprawdzeniu zgodnie z procedurą wewnętrzną P-03 i PB-01. Świadectwo wzorcowania zestawu pomiarowego z dnia 10 maja 2023 o numerze LWiMP/W/173/23 wydane przez Politechnika Wrocławską.

Data ważności świadectwa wzorcowania: 10 maja 2025 (zgodnie z procedurą wewnętrzną P-03).

Oznaczenie miernika	Producent	Model	Numer fabryczny	Oznaczenie sondy	Producent	Model	Numer fabryczny
MW-01	Wavecontrol	Miernik pól elektromagnetycznych SMP2	22SN1956	SW-02	Wavecontrol	Sonda WPF3-HP	22WP030433

Mierniki natężenia pola elektromagnetycznego podlegają okresowemu sprawdzeniu zgodnie z procedurą wewnętrzną P-03 i PB-01. Świadectwo wzorcowania zestawu pomiarowego z dnia 3 czerwca 2024 o numerze LWiMP/W/201/24 wydane przez Politechnika Wrocławską.

Data ważności świadectwa wzorcowania: 3 czerwca 2026 (zgodnie z procedurą wewnętrzną P-03).

**Termohigrometr:**

Oznaczenie:	TH-07	Producent:	AZ INSTRUMENT CORP	Model:	Termohigrometr AZ8706
-------------	-------	------------	--------------------	--------	-----------------------

Data ważności świadectwa wzorcowania: 7 stycznia 2028 (zgodnie z procedurą wewnętrzną P-03).

**Dalmierz:**

Oznaczenie	Producent	Typ	Numer seryjny	Nr świadectwa wzorcowania	Data świadectwa wzorcowania
D-04	Leica	Dalmierz Leica Disto X310	843810404	1146.1-M11-4180-396/15	8 kwietnia 2015

Data ważności świadectwa wzorcowania: 8 kwietnia 2025 (zgodnie z procedurą wewnętrzną P-03).

**Odbiornik GNSS:**

Odbiornik GNSS wbudowany w miernik natężenia pola elektromagnetycznego użyty podczas pomiarów	Producent	Model
	UBlox	MAX-M8Q

Odbiorniki podlegają okresowemu sprawdzeniu zgodnie z procedurą wewnętrzną P-03.

**9. Wyniki pomiarów**

**Pole elektryczne**

Nr pionu	Opis umiejscowienia pionu (punktu) pomiarowego	Wysokość pomiaru [m]	Zmierzona wartość natężenia pola elektrycznego E [V/m] <sup>1,5</sup>			Wartość natężenia pola elektrycznego powiększona o niepewność pomiaru <sup>4</sup> E [V/m]	Wskaźnikowa wartość poziomu emisji pól elektromagnetycznych WME <sup>3</sup>	Współrzędne geograficzne pionu (punktu) pomiarowego <sup>2</sup>
			Sonda SW-01	Sonda SW-02	Wartość			
1	GKP w odległości poziomej 15m od anteny sektorowej az. 20°	0.3-2.0	<1.0*	<1.0*	<1.0*	1.3	0.05	54°2'17.9" 15°31'25.0"
2	GKP w odległości poziomej 49m od anteny sektorowej az. 20°	0.3-2.0	<1.0*	<1.0*	<1.0*	1.3	0.05	54°2'19.0" 15°31'25.7"
3	GKP w odległości poziomej 103m od anteny sektorowej az. 20°	0.3-2.0	<1.0*	<1.0*	<1.0*	1.3	0.05	54°2'20.8" 15°31'26.8"
4	GKP w odległości poziomej 10m od anteny	0.3-2.0	<1.0*	<1.0*	<1.0*	1.3	0.05	54°2'17.2" 15°31'24.2"

Sprawozdanie z badań bez pisemnej zgody laboratorium nie może być powielane inaczej niż w całości.

Wynik przedstawione w niniejszym sprawozdaniu odnoszą się wyłącznie do badanego obiektu i do warunków i konfiguracji urządzeń w dniu wykonywania pomiarów.

	sektorowej az. 220°							
5	GKP w odległości poziomej 52m od anteny sektorowej az. 220° I anteny radioliniowej az. 221°	0.3-2.0	<1.0*	<1.0*	<1.0*	1.3	0.05	54°2'16.1" 15°31'22.8"
6	GKP w odległości poziomej 104m od anteny sektorowej az. 220°	0.3-2.0	<1.0*	<1.0*	<1.0*	1.3	0.05	54°2'14.6" 15°31'21.0"
7	GKP w odległości poziomej 12m od anteny sektorowej az. 120°	0.3-2.0	<1.0*	<1.0*	<1.0*	1.3	0.05	54°2'17.2" 15°31'25.3"
8	GKP w odległości poziomej 54m od anteny sektorowej az. 120°	0.3-2.0	<1.0*	<1.0*	<1.0*	1.3	0.05	54°2'16.4" 15°31'27.5"
9	GKP w odległości poziomej 106m od anteny sektorowej az. 120°	0.3-2.0	<1.0*	<1.0*	<1.0*	1.3	0.05	54°2'15.7" 15°31'30.0"
10	GKP w odległości poziomej 58m od anteny radioliniowej az. 244°	0.3-2.0	<1.0*	<1.0*	<1.0*	1.3	0.05	54°2'16.4" 15°31'21.7"
11	GKP w odległości poziomej 50m od anteny radioliniowej az. 307°	0.3-2.0	<1.0*	<1.0*	<1.0*	1.3	0.05	54°2'18.2" 15°31'22.4"
12	GKP w odległości poziomej 50m od anteny radioliniowej az. 316°	0.3-2.0	<1.0*	<1.0*	<1.0*	1.3	0.05	54°2'18.6" 15°31'22.8"
13	GKP w odległości poziomej 52m od anteny radioliniowej az. 53°	0.3-2.0	<1.0*	<1.0*	<1.0*	1.3	0.05	54°2'18.6" 15°31'27.1"
14	GKP w odległości poziomej 54m od anteny radioliniowej az. 78°	0.3-2.0	<1.0*	<1.0*	<1.0*	1.3	0.05	54°2'17.9" 15°31'27.8"
15	GKP w odległości poziomej 60m od anteny radioliniowej az. 128°	0.3-2.0	<1.0*	<1.0*	<1.0*	1.3	0.05	54°2'16.1" 15°31'27.5"
16	PKP na az. 255° w odległości poziomej 50m od anteny sektorowej az. 220°	0.3-2.0	<1.0*	<1.0*	<1.0*	1.3	0.05	54°2'16.8" 15°31'22.1"
17	PKP na az. 239° w odległości poziomej 51m od anteny sektorowej az. 220°	0.3-2.0	<1.0*	<1.0*	<1.0*	1.3	0.05	54°2'16.4" 15°31'22.1"
18	PKP na az. 228° w odległości poziomej 50m od anteny sektorowej az. 220°	0.3-2.0	<1.0*	<1.0*	<1.0*	1.3	0.05	54°2'16.4" 15°31'22.8"

Sprawozdanie z badań bez pisemnej zgody laboratorium nie może być powielane inaczej niż w całości.  
 Wynik przedstawione w niniejszym sprawozdaniu odnoszą się wyłącznie do badanego obiektu i do warunków i konfiguracji urządzeń w dniu wykonywania pomiarów.

19	PKP na az. 211° w odległości poziomej 53m od anteny sektorowej az. 220°	0.3-2.0	<1.0*	<1.0*	<1.0*	1.3	0.05	54°2'16.1" 15°31'23.2"
20	PKP na az. 200° w odległości poziomej 53m od anteny sektorowej az. 220°	0.3-2.0	<1.0*	<1.0*	<1.0*	1.3	0.05	54°2'15.7" 15°31'23.5"
21	PKP na az. 186° w odległości poziomej 52m od anteny sektorowej az. 220°	0.3-2.0	<1.0*	<1.0*	<1.0*	1.3	0.05	54°2'15.7" 15°31'24.2"
22	PKP na az. 155° w odległości poziomej 54m od anteny sektorowej az. 120°	0.3-2.0	<1.0*	<1.0*	<1.0*	1.3	0.05	54°2'15.7" 15°31'26.0"
23	PKP na az. 140° w odległości poziomej 54m od anteny sektorowej az. 120°	0.3-2.0	<1.0*	<1.0*	<1.0*	1.3	0.05	54°2'16.1" 15°31'26.8"
24	PKP na az. 128° w odległości poziomej 51m od anteny sektorowej az. 120°	0.3-2.0	<1.0*	<1.0*	<1.0*	1.3	0.05	54°2'16.4" 15°31'27.1"
25	PKP na az. 112° w odległości poziomej 53m od anteny sektorowej az. 120°	0.3-2.0	<1.0*	<1.0*	<1.0*	1.3	0.05	54°2'16.8" 15°31'27.5"
26	PKP na az. 100° w odległości poziomej 52m od anteny sektorowej az. 120°	0.3-2.0	<1.0*	<1.0*	<1.0*	1.3	0.05	54°2'17.2" 15°31'27.5"
27	PKP na az. 87° w odległości poziomej 53m od anteny sektorowej az. 120°	0.3-2.0	<1.0*	<1.0*	<1.0*	1.3	0.05	54°2'17.5" 15°31'27.8"
-	GKP w odległości poziomej 817m od anteny sektorowej az. 20°	0.3-2.0	<1.0*	<1.0*	<1.0*	1.3	0.05	54°2'42.4" 15°31'40.1"
-	GKP w odległości poziomej 639m od anteny sektorowej az. 120°	0.3-2.0	<1.0*	<1.0*	<1.0*	1.3	0.05	54°2'7.1" 15°31'55.2"
-	GKP w odległości poziomej 482m od anteny sektorowej az. 220°	0.3-2.0	<1.0*	<1.0*	<1.0*	1.3	0.05	54°2'5.3" 15°31'7.7"

Sprawozdanie z badań bez pisemnej zgody laboratorium nie może być powielane inaczej niż w całości.  
 Wynik przedstawione w niniejszym sprawozdaniu odnoszą się wyłącznie do badanego obiektu i do warunków i konfiguracji urządzeń w dniu wykonywania pomiarów.

Pole magnetyczne (wyznaczone na podstawie pomiaru wartości natężenia pola elektrycznego)

Nr pionu	Opis umiejscowienia pionu (punktu) pomiarowego	Wysokość pomiaru [m]	Wartość natężenia pola magnetycznego H [A/m] <sup>1</sup>			Wartość natężenia pola magnetycznego powiększona o niepewność pomiaru <sup>4</sup> H [A/m]	Wskaźnikowa wartość poziomu emisji pól elektromagnetycznych WM <sub>H</sub> <sup>3</sup>	Współrzędne geograficzne pionu (punktu) pomiarowego <sup>2</sup>
			Sonda SW-01	Sonda SW-02	Wartość			
1	GKP w odległości poziomej 15m od anteny sektorowej az. 20°	0.3-2.0	<0.003*	<0.003*	<0.003*	0.003	0.05	54°2'17.9" 15°31'25.0"
2	GKP w odległości poziomej 49m od anteny sektorowej az. 20°	0.3-2.0	<0.003*	<0.003*	<0.003*	0.003	0.05	54°2'19.0" 15°31'25.7"
3	GKP w odległości poziomej 103m od anteny sektorowej az. 20°	0.3-2.0	<0.003*	<0.003*	<0.003*	0.003	0.05	54°2'20.8" 15°31'26.8"
4	GKP w odległości poziomej 10m od anteny sektorowej az. 220°	0.3-2.0	<0.003*	<0.003*	<0.003*	0.003	0.05	54°2'17.2" 15°31'24.2"
5	GKP w odległości poziomej 52m od anteny sektorowej az. 220° I anteny radioliniowej az. 221°	0.3-2.0	<0.003*	<0.003*	<0.003*	0.003	0.05	54°2'16.1" 15°31'22.8"
6	GKP w odległości poziomej 104m od anteny sektorowej az. 220°	0.3-2.0	<0.003*	<0.003*	<0.003*	0.003	0.05	54°2'14.6" 15°31'21.0"
7	GKP w odległości poziomej 12m od anteny sektorowej az. 120°	0.3-2.0	<0.003*	<0.003*	<0.003*	0.003	0.05	54°2'17.2" 15°31'25.3"
8	GKP w odległości poziomej 54m od anteny sektorowej az. 120°	0.3-2.0	<0.003*	<0.003*	<0.003*	0.003	0.05	54°2'16.4" 15°31'27.5"
9	GKP w odległości poziomej 106m od anteny sektorowej az. 120°	0.3-2.0	<0.003*	<0.003*	<0.003*	0.003	0.05	54°2'15.7" 15°31'30.0"
10	GKP w odległości poziomej 58m od anteny radioliniowej az. 244°	0.3-2.0	<0.003*	<0.003*	<0.003*	0.003	0.05	54°2'16.4" 15°31'21.7"
11	GKP w odległości poziomej 50m od anteny	0.3-2.0	<0.003*	<0.003*	<0.003*	0.003	0.05	54°2'18.2" 15°31'22.4"

Sprawozdanie z badań bez pisemnej zgody laboratorium nie może być powielane inaczej niż w całości.  
 Wynik przedstawione w niniejszym sprawozdaniu odnoszą się wyłącznie do badanego obiektu i do warunków i konfiguracji urządzeń w dniu wykonywania pomiarów.

	radioliniowej az. 307°							
12	GKP w odległości poziomej 50m od anteny radioliniowej az. 316°	0.3-2.0	<0.003*	<0.003*	<0.003*	0.003	0.05	54°2'18.6" 15°31'22.8"
13	GKP w odległości poziomej 52m od anteny radioliniowej az. 53°	0.3-2.0	<0.003*	<0.003*	<0.003*	0.003	0.05	54°2'18.6" 15°31'27.1"
14	GKP w odległości poziomej 54m od anteny radioliniowej az. 78°	0.3-2.0	<0.003*	<0.003*	<0.003*	0.003	0.05	54°2'17.9" 15°31'27.8"
15	GKP w odległości poziomej 60m od anteny radioliniowej az. 128°	0.3-2.0	<0.003*	<0.003*	<0.003*	0.003	0.05	54°2'16.1" 15°31'27.5"
16	PKP na az. 255° w odległości poziomej 50m od anteny sektorowej az. 220°	0.3-2.0	<0.003*	<0.003*	<0.003*	0.003	0.05	54°2'16.8" 15°31'22.1"
17	PKP na az. 239° w odległości poziomej 51m od anteny sektorowej az. 220°	0.3-2.0	<0.003*	<0.003*	<0.003*	0.003	0.05	54°2'16.4" 15°31'22.1"
18	PKP na az. 228° w odległości poziomej 50m od anteny sektorowej az. 220°	0.3-2.0	<0.003*	<0.003*	<0.003*	0.003	0.05	54°2'16.4" 15°31'22.8"
19	PKP na az. 211° w odległości poziomej 53m od anteny sektorowej az. 220°	0.3-2.0	<0.003*	<0.003*	<0.003*	0.003	0.05	54°2'16.1" 15°31'23.2"
20	PKP na az. 200° w odległości poziomej 53m od anteny sektorowej az. 220°	0.3-2.0	<0.003*	<0.003*	<0.003*	0.003	0.05	54°2'15.7" 15°31'23.5"
21	PKP na az. 186° w odległości poziomej 52m od anteny sektorowej az. 220°	0.3-2.0	<0.003*	<0.003*	<0.003*	0.003	0.05	54°2'15.7" 15°31'24.2"
22	PKP na az. 155° w odległości poziomej 54m od anteny sektorowej az. 120°	0.3-2.0	<0.003*	<0.003*	<0.003*	0.003	0.05	54°2'15.7" 15°31'26.0"
23	PKP na az. 140° w	0.3-2.0	<0.003*	<0.003*	<0.003*	0.003	0.05	54°2'16.1" 15°31'26.8"

Sprawozdanie z badań bez pisemnej zgody laboratorium nie może być powielane inaczej niż w całości.  
 Wynik przedstawione w niniejszym sprawozdaniu odnoszą się wyłącznie do badanego obiektu i do warunków i konfiguracji urządzeń w dniu wykonywania pomiarów.

	odległości poziomej 54m od anteny sektorowej az. 120°							
24	PKP na az. 128° w odległości poziomej 51m od anteny sektorowej az. 120°	0.3-2.0	<0.003*	<0.003*	<0.003*	0.003	0.05	54°2'16.4" 15°31'27.1"
25	PKP na az. 112° w odległości poziomej 53m od anteny sektorowej az. 120°	0.3-2.0	<0.003*	<0.003*	<0.003*	0.003	0.05	54°2'16.8" 15°31'27.5"
26	PKP na az. 100° w odległości poziomej 52m od anteny sektorowej az. 120°	0.3-2.0	<0.003*	<0.003*	<0.003*	0.003	0.05	54°2'17.2" 15°31'27.5"
27	PKP na az. 87° w odległości poziomej 53m od anteny sektorowej az. 120°	0.3-2.0	<0.003*	<0.003*	<0.003*	0.003	0.05	54°2'17.5" 15°31'27.8"
-	GKP w odległości poziomej 817m od anteny sektorowej az. 20°	0.3-2.0	<0.003*	<0.003*	<0.003*	0.003	0.05	54°2'42.4" 15°31'40.1"
-	GKP w odległości poziomej 639m od anteny sektorowej az. 120°	0.3-2.0	<0.003*	<0.003*	<0.003*	0.003	0.05	54°2'7.1" 15°31'55.2"
-	GKP w odległości poziomej 482m od anteny sektorowej az. 220°	0.3-2.0	<0.003*	<0.003*	<0.003*	0.003	0.05	54°2'5.3" 15°31'7.7"

GKP – Główny Kierunek Pomiarowy

PKP – Pomocniczy Kierunek Pomiarowy

<sup>1</sup> wyniki oznaczone \* są wynikami poniżej czułości zestawu pomiarowego i są wynikami spoza zakresu akredytacji. Do obliczenia wyniku skorygowanego przyjęto wartość skorelowaną z rzeczywistym wynikiem pomiaru - dolną granicę akredytowanego zakresu pomiarowego metody

<sup>2</sup> współrzędne geograficzne pozyskane metodą pomiaru bezpośredniego

<sup>3</sup> do wyznaczenia wartości wskaźnikowej  $W_{ME}$  i  $W_{MH}$  przyjęto na podstawie uzgodnień z klientem oraz rozpoznania źródeł, jako wartości dopuszczalne pola elektrycznego i magnetycznego odpowiednio 28 V/m i 0,073 A/m.

<sup>4</sup> do wyznaczenia niepewności dla wyników poniżej czułości zestawu pomiarowego, przyjęto niepewność dla minimalnej wartości z zakresu pomiarowego.

<sup>5</sup> maksymalna wartość chwilowa

Niepewność oszacowano zgodnie z dokumentem P-03 „Procedura nadzoru nad wyposażeniem” w postaci niepewności rozszerzonej wynikającej z niepewności standardowej pomnożonej przez współczynnik rozszerzenia  $k=2$ .

Całkowita szacowana niepewność rozszerzona składowej E wynosi odpowiednio:

sonda SW-01: 31.6% dla częstotliwości do 4 GHz, sonda SW-02: 30.8% dla częstotliwości do 4 GHz

Pomiar wykonany metodą 2 sond, opisaną w artykule Medycyna Pracy 2015;66(5):701–712 „Optymalizacja metodyki pomiaru wieloczęstotliwościowego pola elektromagnetycznego stacji bazowych telefonii komórkowej”.

Umiejscowienie pionów (punktów) pomiarowych przedstawiono w załączniku nr 2 do niniejszego sprawozdania.

Sprawozdanie z badań bez pisemnej zgody laboratorium nie może być powielane inaczej niż w całości.

Wynik przedstawione w niniejszym sprawozdaniu odnoszą się wyłącznie do badanego obiektu i do warunków i konfiguracji urządzeń w dniu wykonywania pomiarów.

## 10. Omówienie wyników pomiarów

W związku z tym, że żadna z wartości zmierzonych, udokumentowanych w tabelach w pkt. 9, uzyskanych w skutek zastosowania pomiaru szerokopasmowego, powiększonego o rozszerzoną niepewność pomiaru  $U$  dla współczynnika rozszerzenia  $k = 2$  nie przekroczyła 70% najniższej dopuszczalnej wartości składowej elektrycznej lub magnetycznej pola dla objętych pomiarami zakresów częstotliwości, nie uwzględnia się poprawek pomiarowych.

W wyniku zastosowania sposobu sprawdzenia dotrzymania dopuszczalnych poziomów pól elektromagnetycznych w środowisku, zgodnie pkt 25 ppkt 1 Rozporządzenia Ministra Klimatu z dnia 17 lutego 2020 r. (Dz. U. 2022, poz. 2630), w związku z tym, że żadna z wartości wskaźnikowych, udokumentowanych w tabelach w pkt. 9 nie przekracza wartości 1, stwierdza się, że w miejscach, w których wykonano pomiary w otoczeniu instalacji radiokomunikacyjnej 32786 (42786N!) GKO\_SIEMYSL\_SIEMYSL, dopuszczalne poziomy pól elektromagnetycznych w środowisku należy uznać za dotrzymane.

## 11. Podstawa prawna

- 1) Ustawa z dnia 27 kwietnia 2001 r. Prawo ochrony środowiska (Dz.U. 2024 poz. 54 z późn. zm.)
- 2) Rozporządzenie Ministra Zdrowia z dnia 17 grudnia 2019 r. w sprawie dopuszczalnych poziomów pól elektromagnetycznych w środowisku (Dz. U. 2019, poz. 2448)
- 3) Rozporządzenie Ministra Klimatu z dnia 17 lutego 2020 r. w sprawie sposobów sprawdzania dotrzymania dopuszczalnych poziomów pól elektromagnetycznych w środowisku (Dz. U. 2022, poz. 2630),
- 4) Akredytacja nr AB 419 wydana przez Polskie Centrum Akredytacji (wydanie 22, z dnia 9 stycznia 2024 r.)

## 12. Spis załączników

- Załącznik 1. Lokalizacja obiektu badań
- Załącznik 2. Usytuowanie pionów (punktów) pomiarowych
- Załącznik 3. Dokumentacja fotograficzna obiektu badań

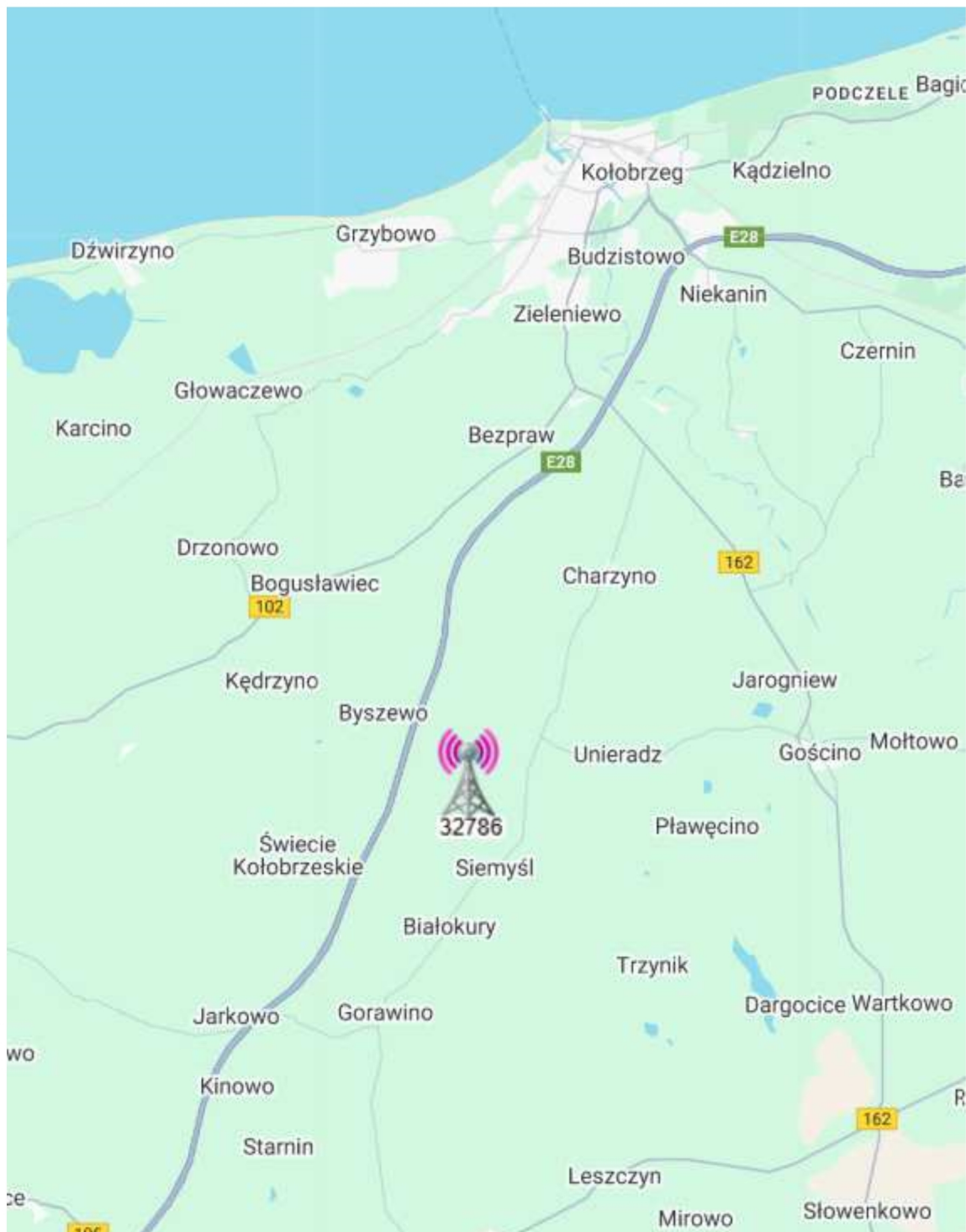
## 13. Data wydania i autoryzowania sprawozdania

Obliczenia i sprawozdanie wykonał :

Sprawozdanie autoryzował:

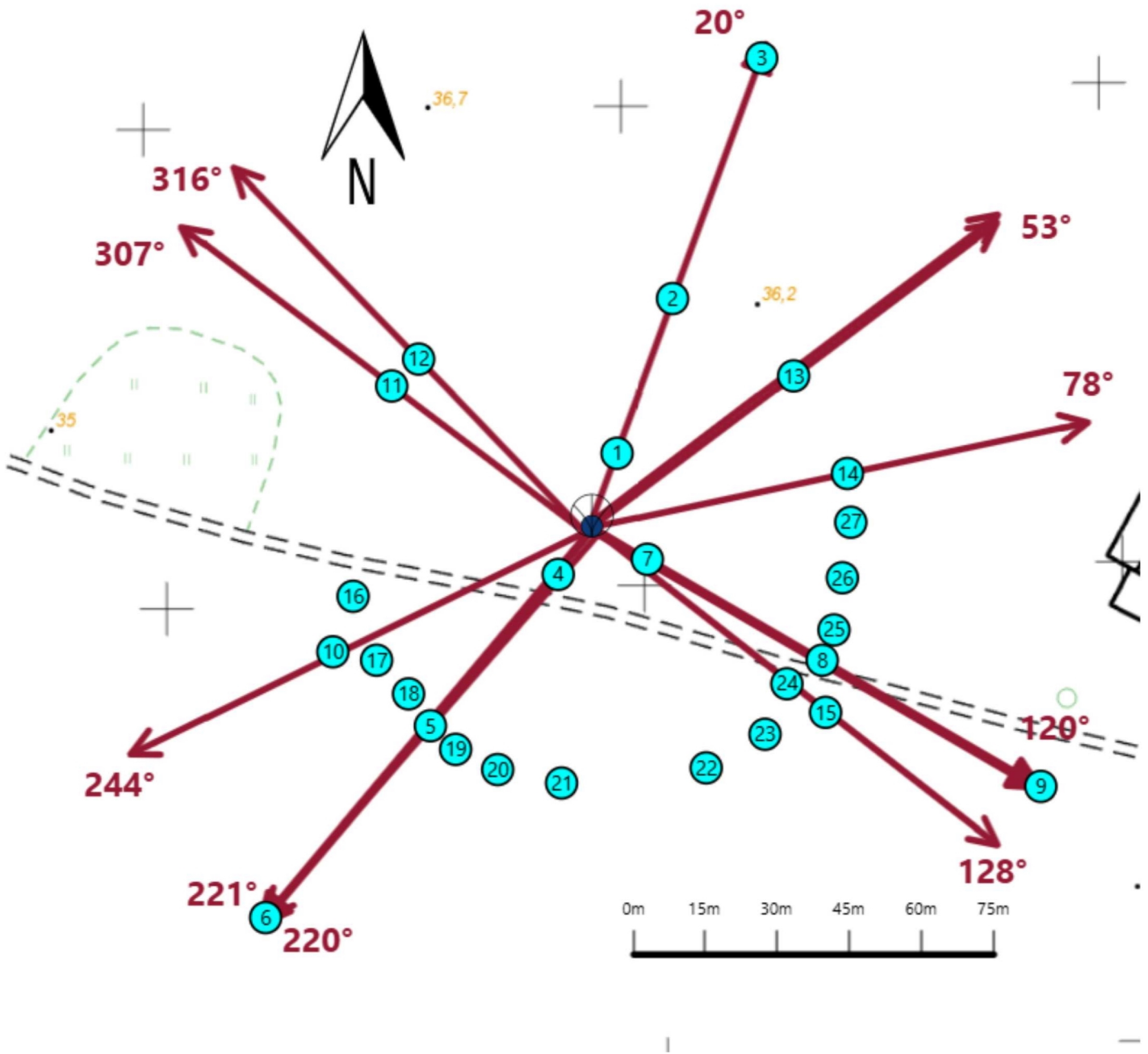
**Koniec sprawozdania**
















Sprawozdanie z badań bez pisemnej zgody laboratorium nie może być powielane inaczej niż w całości.  
Wynik przedstawione w niniejszym sprawozdaniu odnoszą się wyłącznie do badanego obiektu i do warunków i konfiguracji urządzeń w dniu wykonywania pomiarów.



Załącznik nr 1	Instalacja radiokomunikacyjna T-Mobile Polska S.A. 32786 (42786N!) GKO_SIEMYSL_SIEMYSL Lokalizacja instalacji
----------------	---





Załącznik nr 2	<p style="text-align: center;"><b>Instalacja radiokomunikacyjna T-Mobile Polska S.A.</b>  <b>GKO_SIEMYSL_SIEMYSL (42786N!)</b>                  Usytuowanie pionów pomiarowych w otoczeniu instalacji radiokomunikacyjnej</p>					
	<p>Legenda:</p> <table style="width: 100%; border: none;"> <tr> <td style="text-align: center;"> Źródło pola elektromagnetycznego</td> <td style="text-align: center;"> Brak dostępu</td> <td style="text-align: center;"> Pion pomiarowy</td> <td style="text-align: center;"> Kierunek oddziaływania anten sektorowych</td> <td style="text-align: center;"> Kierunek oddziaływania anten radioliniowych</td> </tr> </table>	 Źródło pola elektromagnetycznego	 Brak dostępu	 Pion pomiarowy	 Kierunek oddziaływania anten sektorowych	 Kierunek oddziaływania anten radioliniowych
 Źródło pola elektromagnetycznego	 Brak dostępu	 Pion pomiarowy	 Kierunek oddziaływania anten sektorowych	 Kierunek oddziaływania anten radioliniowych		



Załącznik nr 3

Instalacja radiokomunikacyjna T-Mobile Polska S.A.  
32786 (42786N!) GKO\_SIEMYSL\_SIEMYSL

Dokumentacja fotograficzna